

164 Biomechanika tkání, orgánů a orgánových struktur

V práci [165] je předložena aplikace metody konečných elementů pro popis prostorové napjatosti v okolí krčku zatížené stehenní kosti a pro některé typy náhrad kyčelního kloubu při různém způsobu jejich upevnění ve stehenní kosti. Kostní tkáň je považována za homogenní a izotropní materiál s různým modulem pružnosti:  $E_1 = 1,45 \cdot 10^3$  MPa,  $E_2 = 1,21 \cdot 10^3$  MPa,  $E_3 = 0,97 \cdot 10^3$  MPa,  $E_4 = 0,39 \cdot 10^3$  MPa,  $E_5 = 0,485 \cdot 10^3$  MPa,  $E_6 = 0,728 \cdot 10^3$  MPa a  $E_7 = 14,5 \cdot 10^3$  MPa (obr. 2.69-bar. příl.) Je použito čtyřstěnů s vloženými stykovými body. Pole posuvů je approximováno kvadratickým polynomem. Celkový počet stupňů volnosti je cca  $3 \cdot 10^3$ . Výpočtový model je uveden na obr. 2.70. Tlakové zatížení kloubu činí 1 750 N a tah svalu působícího na velký chocholík (trochanter major) je 1 300 N. Pro zkrácení výpočtových časů se předpokládá, že svislá rovina procházející osou krčku, je rovinou symetrie kosti stehenní. Na obr. 2.71 jsou vyneseny průběhy normálních napětí vztahených k vnějším povrchovým vláknům kompaktní kosti.

↓ prednáška

#### 2.6.3.2. Analýza namáhání meziobratlové ploténky při osovém zatížení

V posledních letech je významná pozornost věnována biomechanice páteře, zejména její bederní části. Souhrnný popis mechanické odezvy páteře přispěje nejen k poznání vlivu gravitačního přetížení těla na deformabilitu meziobratlové ploténky, ale rovněž k přípravě a návrhu vhodných náhrad obratle a meziobratlové ploténky. Toto studium je důležité i proto, že poruchy bederní páteře způsobují asi u 7 % populace dlouhodobé vyřazení z pracovní činnosti. Porozumění mechanickým vlastnostem meziobratlové ploténky je rovněž závažné i v řadě lékařských problémů. Mezi ně patří studium vzniku a vývoje degenerace ploténky a jejich poruch, posuv ploténky a studium vzniku i korekce deformability páteře.

Páteř člověka sestává ze sedmi obratlů krčních, značených C1 až C7, dvacáti obratlů hrudních (T1 až T12), pěti obratlů bederních (L1 až L5), pěti obratlů křížových (S1 až S5) srůstajících v kost křízovou a čtyř až pěti obratlů kostrčních (Co1 až Co4/5), splývajících v kost kostrční.

Tělo obratle (corpus vertebrae) je mohutnější část obratle. Je to v podstatě nízký válec, zakončený dvěma téměř rovnými ploškami, na které je připojena chrupavčitá meziobratlová ploténka (discus intervertebral), která se tvarově shoduje s těmito ploškami. Plotének je celkem 23. Každá ploténka má okrajové vrstvičky hyalinní (sklovité) chrupavky, které přiléhají ke kosti těl obou obratlů. Obvod ploténky tvoří prstenec vazivový (annulus fibrosus), složený z lamel kolagenních fibril. Uvnitř každé ploténky je vodnaté jádro (nucleus pulposus), jež má kulovitý tvar a je málo stlačitelné. Jádro je nahoře i dole ohraničeno deskovitou chrupavkou a na obvodu vazivovým prstencem. Obsah vody v jádru se mění od 88 % při narození do 69 % ve stáří 77 let. Jádro je nosným prvkem a tvoří jakési ložisko, kolem kterého se obratle otáčejí. Tloušťka meziobratlových plotének roste shora

dolů a tvoří jednu ploténce jsou při

Oblouk obratlový (foramen) otvoru kanál páteře, nastavení obratlové, kterými v

Výběžky (processus). Celkem je jich 5 výběžky přičné (processus articularis). Poslední jsou mimo podélně poutající sousedních obratlov

Páteř není rovná s rovinou, kterou v rovině sagitální jsou v krajině v oblasti krční bederní v kyfózním (kyphosaurus). K vytvoření destičky. Narození jednolitý kyftotomus

Ve frontální skoliozou páteře a bederní je p

Mnohé práce zatížení, zejména jde o zdravotní relativní úhly stejný. Vzrůstání nastává mezi předklonu bylo například v závislosti (2–13) let, 9 let. Z provedeného rozsahu pohybu došlo k počítání během (34 až 49) let 7,6° a mezi páteře. Jsou

Zajímavé páteře. Jsou

164 Biomechanika tkání, orgánů a orgánových struktur

V práci [165] je předložena aplikace metody konečných elementů pro popis prostorové napjatosti v okolí krčku zatížené stehenní kosti a pro některé typy náhrad kyčelního kloubu při různém způsobu jejich upevnění ve stehenní kosti. Kostní tkáň je považována za homogenní a izotropní materiál s různým modulem pružnosti:  $E_1 = 1,45 \cdot 10^3$  MPa,  $E_2 = 1,21 \cdot 10^3$  MPa,  $E_3 = 0,97 \cdot 10^3$  MPa,  $E_4 = 0,39 \cdot 10^3$  MPa,  $E_5 = 0,485 \cdot 10^3$  MPa,  $E_6 = 0,728 \cdot 10^3$  MPa a  $E_7 = 14,5 \cdot 10^3$  MPa (obr. 2.69-bar. příl.) Je použito čtyřstěnů s vloženými stykovými body. Pole posuvů je approximováno kvadratickým polynomem. Celkový počet stupňů volnosti je cca  $3 \cdot 10^3$ . Výpočtový model je uveden na obr. 2.70. Tlakové zatížení kloubu činí 1 750 N a tah svalu působícího na velký chocholík (trochanter major) je 1 300 N. Pro zkrácení výpočtových časů se předpokládá, že svislá rovina procházející osou krčku, je rovinou symetrie kosti stehenní. Na obr. 2.71 jsou vyneseny průběhy normálních napětí vztahených k vnějším povrchovým vláknům kompaktní kosti.

↓ prednáška

#### 2.6.3.2. Analýza namáhání meziobratlové ploténky při osovém zatížení

V posledních letech je významná pozornost věnována biomechanice páteře, zejména její bederní části. Souhrnný popis mechanické odezvy páteře přispěje nejen k poznání vlivu gravitačního přetížení těla na deformabilitu meziobratlové ploténky, ale rovněž k přípravě a návrhu vhodných náhrad obratle a meziobratlové ploténky. Toto studium je důležité i proto, že poruchy bederní páteře způsobují asi u 7 % populace dlouhodobé vyřazení z pracovní činnosti. Porozumění mechanickým vlastnostem meziobratlové ploténky je rovněž závažné i v řadě lékařských problémů. Mezi ně patří studium vzniku a vývoje degenerace ploténky a jejích poruch, posuv ploténky a studium vzniku i korekce deformability páteře.

Páteř člověka sestává ze sedmi obratlů krčních, značených C1 až C7, dvacáti obratlů hrudních (T1 až T12), pěti obratlů bederních (L1 až L5), pěti obratlů křížových (S1 až S5) srůstajících v kost křízovou a čtyř až pěti obratlů kostrčních (Co1 až Co4/5), splývajících v kost kostrční.

Tělo obratle (corpus vertebrae) je mohutnější část obratle. Je to v podstatě nízký válec, zakončený dvěma téměř rovnými ploškami, na které je připojena chrupavčitá meziobratlová ploténka (discus intervertebral), která se tvarově shoduje s těmito ploškami. Plotének je celkem 23. Každá ploténka má okrajové vrstvičky hyalinní (sklovité) chrupavky, které přiléhají ke kosti těl obou obratlů. Obvod ploténky tvoří prstenec vazivový (annulus fibrosus), složený z lamel kolagenních fibril. Uvnitř každé ploténky je vodnaté jádro (nucleus pulposus), jež má kulovitý tvar a je málo stlačitelné. Jádro je nahoře i dole ohraničeno deskovitou chrupavkou a na obvodu vazivovým prstencem. Obsah vody v jádru se mění od 88 % při narození do 69 % ve stáří 77 let. Jádro je nosným prvkem a tvoří jakési ložisko, kolem kterého se obratle otáčejí. Touška meziobratlových plotének roste shora

dolů a tvoří jednu ploténce jsou při

Oblouk obratle obratlový (foramen otvoru kanál páteře), nastavení obratlové, kterými v

Výběžky (processus articularis). Celkem je jich 32 výběžky přičné (articulares). Poslední a příčné jsou mezi podélně poutají sousedních obratle

Páteř není rovná s rovinou, kterou v rovině sagitální jsou v krajině v oblasti krční bederní v kyfózum (kyphos). K vytváření destičky. Narození jednolitý kyftotom.

Ve frontální skoliózou páteře a bederní je p

Mnohé práce zatížení, zejména jde o zdravotní relativních úhlu stejný. Vzrůstání nastává mezi předklonou a Například vzájemně (2–13) let, 9 let. Z provedení rozsah pohybu počítaného bez (34 až 49) let, 7,6° a mezi páteře. Jsou

Zajímavé páteře. Jsou

o popis  
teré typy  
enní kosti.  
n modulem  
MPa,  $E_4 =$   
 $5 \cdot 10^3$  MPa  
Pole posuvu  
lnosti je cca  
kloubu činí  
je 1 300 N.  
zázející osou  
eny průběhy  
aktní kosti.

zení

nice páteře,  
eře přispěje  
ezioratlové  
ezioratlové  
způsobují asi  
ní mechanické  
lékařských  
nky a jejich  
iteře.  
C7, dvanácti  
pěti obratlů  
ú kostrčních

odstatě nízký  
a chrupavčí  
vě shoduje  
vé vrstvičky  
atlů. Obvod  
kolagenních  
má kulovitý  
chrupavkou  
od 88 % při  
kési ložisko,  
rostě shora

dolů a tvoří jednu pětinu až jednu čtvrtinu z celkové délky páteře. K meziobratlové plotence jsou připojeny dva podélné vazky.

Oblouk obratlový (arcus vertebralis) spolu s tělem obratle uzavírájí otvor obratlový (foramen vertebrale). Nastavením obratlů na sebe vzniká z jednotlivých otvorů kanál páteřní (canalis vertebral), ve kterém je ukryta mícha hřbetní. Při nastavení obratlů na sebe vznikají tím mezi sousedními oblouky otvory meziobratlové, kterými vystupují mísni nervy.

Výběžky (processus) jsou připojeny k oblouku a slouží k pohyblivosti obratle. Celkem je jich sedm. Dozadu míří výběžek trnový (processus spinosus), do stran výběžky příčné (processus transversus) a nahoru a dolů výběžky kloubní (processus articularis). Poslední uskutečňují kloubní spojení mezi obratly. Výběžky trnové a příčné jsou místem pro úpon svalů a vazů. Vazy páteře zahrnují dlouhé vazky, podélně poutající prakticky celou páteř a krátké vazky, spojující oblouky a výběžky sousedních obratlů.

Páteř není rovný sloupec. Je zakřivena v rovině sagitální (rovina rovnoběžna s rovinou, která půlí tělo na dvě poloviny) i v rovině frontální (čelní). Zakřivení v rovině sagitální má tvar dvojitého S. Konvexní zakřivení dozadu, zvané kyfózy, jsou v krajině hrudní a křízové a konvexní zakřivení dopředu (lordózy), jsou v oblasti krční a bederní. Zakřivení se plynule střídají, pouze přechod lordózy bederní v kyfózu křízovou se děje lomem. Této oblasti se říká předhoří (promontórium). K vytvoření normálního zakřivení přispívají podstatně i meziobratlové destičky. Narovnáme-li totiž obratle na sebe bez meziobratlové destičky, tvoří jednolitý kyfotický oblouk.

Ve frontální rovině je páteř lehce vybočena do strany. Toto vybočení nazýváme skoliozou páteře. Vybočení je obvykle v hrudní části doprava. V oblasti krční a bederní je páteř málo vychýlena doleva.

Mnohé práce se zabývají kinematickou analýzou páteře při různých typech zatížení, zejména z hlediska vytvoření kritérií, které by umožňovaly zhodnotit, zda jde o zdravou nebo nemocnou páteř. Bylo například zjištěno [167], že rozsah relativních úhlů pootočení jednotlivých obratlů při předklonu a úklonu je téměř stejný. Vzrůstající věk vyvolává pokles rozsahu u obou typů ohnutí. Největší ztráta nastává mezi 13 až 35 lety. Největší průměrná hodnota relativního pootočení při předklonu byla nalezena u dětí mezi obratly S1 a L5 a pro dospělé mezi L4 a L5. Například vzájemné natočení mezi obratlem L3 a L4 při předklonu činí 15° pro věk (2–13) let, 9° pro věk (35–49) let, 8° pro věk (50–64) let a 3° pro věk (65–79) let. Z provedených průzkumů dále vyplývá, že morfologické změny většinou snižují rozsah pohyblivosti jednotlivých hladin páteře. Průměrný rozsah vzájemného pootočení bederních obratlů (při ohýbu páteře), činí mezi S1/L5 asi 8,0° pro věk (34 až 49) let, mezi L5/L4 je to 12,0°, mezi L4/L3 je rozsah 8,6°, mezi L3/L2 asi 7,6° a mezi L2/L1 pouze 5,6°.

Zajímavé jsou i různé typy poloh kloubních výběžků v různých úsecích lidské páteře. Jsou například rozlišovány tyto hlavní typy poloh výběžku: se společným

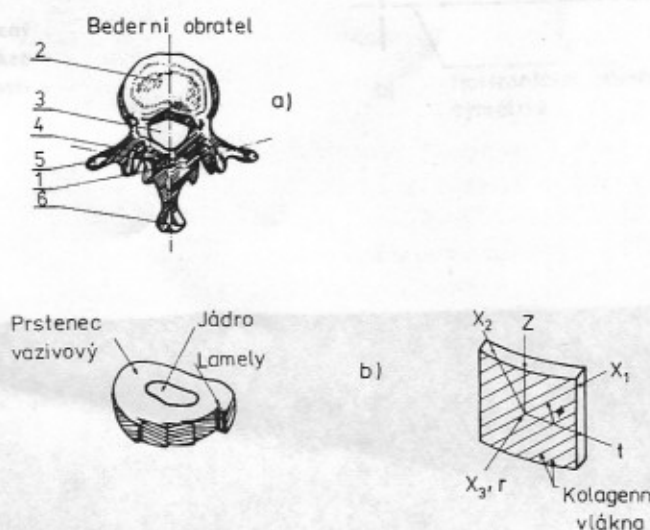
## 166 Biomechanika tkání, orgánů a orgánových struktur

středem rotace, umístěným za výběžky (dorzálně) a s výběžky ležícími v jedné rovině. Ve skutečnosti existují ještě další druhy poloh kloubních výběžků. Ukazuje se například, že v bederní části páteře jsou kloubní výběžky postaveny dorzálně tak, že neexistuje jejich společný střed otáčení, což znesnadňuje axiální rotaci bederních obratlů.

Velmi vážným tématem je rozbor silového toku přenášeného páteří. Je například prokázáno, že silové zatížení meziobratlové ploténky je vyšší při sedu bez opory než vestoje nebo vleže. Například pro meziobratlovou ploténku mezi L3 a L4 při hmotnosti těla 70 kg působí na ploténku při poloze v sedě síla 1315 N, při stoji 973 N a vleže 250 N. Při břemenu 5 kg v předpažených rukou dosahuje síla působící na ploténku výše 1 900 N.

Co se týče mechanických vlastností jednotlivých prvků páteře [167] bylo například zjištěno, že bederní obratle jako celek mají pevnost v tlaku v rozmezí (5,7 až 7,0) MPa při deformaci asi 15,5 %. lidský obratel je vytvořen ze dvou typů kostí spongiózní a kompaktní. Spongiózní část obratle má pevnost v tlaku ( $2,9 \pm 0,1$ ) MPa v osovém směru, ve směru předozadním ( $0,7 \pm 0,1$ ) MPa a ve směru pravolevém ( $0,8 \pm 0,1$ ) MPa. Byla rovněž zjištěna vysoká korelace mezi zdánlivou hustotou a mezí pevnosti v tlaku. Zdánlivá hustota je určena jako podíl hmotnosti nevysušeného obratle a jeho objemu. Kompaktní kost přenáší přibližně 45 % až 75 % zatížení působícího na obratel.

Velikost krouticího momentu, který by způsobil poškození meziobratlového bederního spojení je přibližně 90 Nm. Z toho asi 30 % připadá na meziobratlovou ploténku, zbytek je přenášen kloubními výběžky a ligamenty. K poškození meziobratlové ploténky již dochází při pohybech a zatížení normálního rozsahu, zejména je-li ploténka mírně poškozena. Významnou roli hraje i poškození funkce přenosu sil mezi kloubními výběžky, které zvyšuje nebezpečí degenerace ploténky.



Obr. 2.72. a) Bederní obratel.

- 1 — střed axiální rotace
  - 2 — tělo obratle
  - 3 — otvor obratlový
  - 4 — kloubní výběžek
  - 5 — příčný výběžek
  - 6 — trnový výběžek
- b) Prstenec vazivový složený z lamel kolagenních vláken a přiřazený souřadnicový systém  $X_1$ ,  $X_2$ ,  $X_3$ .

Vazivov z nich js 2.72). Vlá a u přileh zajišťují ta mu propoj odlišná po směru vlák stejným p v tahu asi Pro pop konečných bederních rovině pro 6 oblastí. S dáná jako 75 MPa. T (oblast 2 16,1.10<sup>3</sup> N Jádro (obl napjatosti.

Prstenec s vlastnost Okrajové homogen



ji v jedné  
x. Ukazuje  
eny dorzálně  
axiální rotaci

i. Je například  
du bez opory  
z L3 a L4 při  
5 N, při stoji  
dosahuje síla

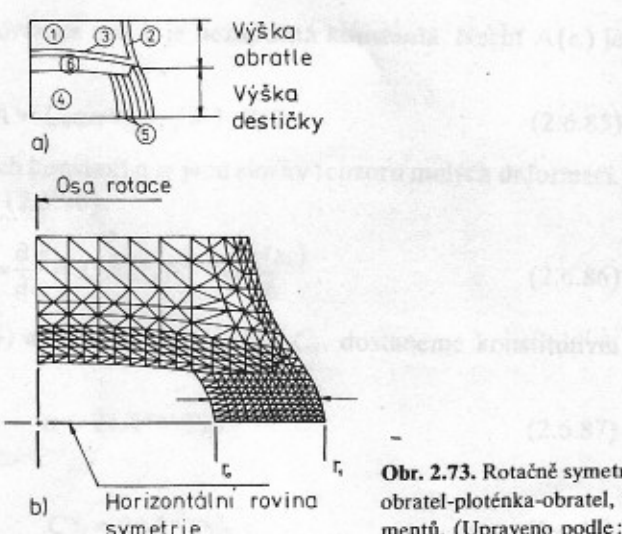
e [167] bylo  
ku v rozmezí  
ze dvou typů  
nost v tlaku  
,1) MPa a ve  
korelace mezi  
na jako podíl  
náši přibližně

zioratlového  
zioratlovou  
K poškození  
ního rozsahu,  
kození funkce  
ace ploténky.

Vazivový prstenec lidské meziobratlové ploténky se skládá z řady lamel. V každé z nich jsou obsažena kolagenní vlákna, která se obtáčejí jedním směrem (obr. 2.72). Vlákna jsou uložena v amorfni základní substanci (mukoproteinový gel) a u přilehlajících lamel se kříží navzájem pod úhlem  $60^\circ$  ( $48^\circ$  až  $74^\circ$ ). Vlákna zajišťují tahovou pevnost prstence, kdežto základní substance slouží ke vzájemnému propojení vláken. Mechanická odezva vazivového prstence (kompozitu) bude odlišná podle toho, je-li prstenec podroben tahovému nebo tlakovému zatížení ve směru vláken. V tahu jsou vlákna podstatně tužší než v tlaku. U vzorků s přibližně stejným počtem vláken obou skupin (dle orientace), je průměrná mez pevnosti v tahu asi 3,8 MPa.

Pro popis mechanických vlastností bederní páteře je výhodné využití metody konečných elementů. Na obr. 2.73 je uveden rotačně symetrický model dvou bederních obratlů L2/L3, který je rovněž symetrický vzhledem k horizontální rovině procházející středem meziobratlové ploténky [168]. Síť je rozdělena do 6 oblastí. Spongiózní část obratle je reprezentována oblastí 1, která je předpokládána jako izotropní, homogenní materiál se středním modulem pružnosti  $E = 75$  MPa. Tenkostenná vnější skořepina a okrajové desky tvořené kompaktní kostí (oblast 2 a 3) jsou rovněž vztahy jako izotropní a homogenní materiál ( $E = 16,1 \cdot 10^3$  MPa). Poissonovo číslo pro kompaktní i spongiozní kost je  $\mu = 0,25$ . Jádro (oblast 4) je uvažováno jako nestlačitelný materiál v hydrostatickém stavu napjatosti.

Prstenec vazivový (oblast 5) je modelován jako homogenní ortotropní materiál s vlastnostmi určenými na základě průměrných vlastností jednotlivých lamel. Okrajové vrstvičky hyalinní chrupavky (oblast 6) jsou nahrazeny izotropním, homogenním materiálem (modul pružnosti  $E = 24,3$  MPa a Poissonovo číslo



Obr. 2.73. Rotačně symetrický model a síť části bederní páteře obratel-ploténka-obratel, použité pro metodu konečných elementů. (Upraveno podle: Kulak, Belytschko, Schultz [168].)

$\mu_{LT} = 0,45$ ). Výška ploténky mezi obratli L2/L3 byla vzata 12 mm, plocha ploténky  $2200 \text{ mm}^2$  odpovídajícím vnějším poloměrem  $r_1 = 26,4 \text{ mm}$ . Z celé řady provedených měření vyplývá, že jádro přibližně zaujímá 25 % až 50 % z průměrné plochy ploténky. Vnější poloměr jádra je asi  $r_0 = 0,707 r_1$ . Výška obratle L2/L3 je přibližně 28 mm.

Nelineárnost kontaktní úlohy obratel-ploténka-obratel je způsobena nelineárními elastickými vlastnostmi prstence vazivového. Prstenec je při zatížení páteře podroben komplexnímu stavu napjatosti, takže pro reálný popis jeho mechanických vlastností je třeba předložit vícerozměrnou závislost mezi napjatostí a deformací.

Konstitutivní rovnici biomateriálu meziobratlové ploténky můžeme odvodit ze známé hustoty deformační energie ve tvaru [168]:

$$w = A^\lambda(\varepsilon_i), \quad (2.6.84)$$

kde  $A$  je skalární funkce deformace  $\varepsilon_i$  a  $\lambda$  je nezáporná konstanta. Nechť  $A(\varepsilon_i)$  je dána vztahem:

$$A = C_{ij}\varepsilon_i\varepsilon_j, \quad i, j = 1, 2, 3. \quad (2.6.85)$$

Zde  $C_{ij}$  je množina elastických konstant a  $\varepsilon_i$  jsou složky tenzoru malých deformací. Napětí určíme podle vztahu (2.6.30):

$$\sigma_i = \frac{\partial w}{\partial \varepsilon_i} = \lambda [A(\varepsilon_k)]^{\lambda-1} \frac{\partial A(\varepsilon_k)}{\partial \varepsilon_i}. \quad (2.6.86)$$

Přijmeme-li závislost (2.6.85) a symetričnost složek  $C_{ij}$ , dostaneme konstitutivní rovnici ve tvaru:

$$\sigma_i = 2\lambda A^{\lambda-1} C_{ii} \varepsilon_i, \quad (2.6.87)$$

kde součiniteli

$$C_{ii}^* = 2\lambda A^{\lambda-1} C_{ii} \quad (2.6.88)$$

jsou závislé na stupni deformace. Parametr  $\lambda$  určuje stupeň nelinearity elastických součinitelů  $C_{ii}^*$ . Je-li  $C < 1$  a  $\lambda$  se nachází v intervalu  $0 < \lambda < 1$ , máme co činit se „změkčením“ konstitutivní závislosti  $\sigma - \varepsilon$ , kdežto pro  $\lambda > 1$  nastává zpevnění biomateriálu. Pro  $\lambda = 1$  se nelineární součiniteli  $C_{ii}^*$  redukují na lineární elastické součinitely  $C_{ii}$ . Pro lineární ortotropní materiál jsou ve tvaru:

$$[C_{ij}] = \begin{bmatrix} C_{rr} & C_{rt} & C_{rz} & 0 \\ C_{tr} & C_{tt} & 0 & \\ & & C_{zz} & 0 \\ & & & C_{rr} \end{bmatrix}, \quad i, j = 1, 2, 3, 4 \\ \text{sym.} \quad (2.6.89)$$

kde indexy  $r, t, z$  označují radiální, obvodový resp. osový směr. Funkce  $A(\varepsilon_i)$  ve

vztahu (2.6.84) je podmínka pro po-

$C_r (C_{rr} C_{zz} - C_{rz}^2) -$

V příruškovém t-

kde

Vzhledem k on  
ních vláken, jsou  
 $X_2, X_3$  tak, že so  
 $X_2$  se nachází v r.  
 $X_1$  je osou tzv.  
rozepsat takto [

$$\begin{bmatrix} \sigma_{11} \\ \sigma_{22} \\ \sigma_{33} \\ \sigma_{12} \\ \sigma_{13} \\ \sigma_{23} \end{bmatrix} = \frac{2\lambda A^{\lambda-1}}{D} \begin{bmatrix} a \\ b \\ c \\ d \\ e \\ f \end{bmatrix}$$

přičemž pro pří-

V daném přípa-

a ploténky  
fady prove-  
z průměrné  
oratle L2/L3 je

ena nelineární-  
zatižení páteře  
jeho mechanic-  
keži napjatosti

eme odvodit ze  
(2.6.84)

Nechť  $A(\varepsilon_i)$  je  
(2.6.85)

lých deformací.

(2.6.86)

ne konstitutivní

(2.6.87)

(2.6.88)

arity elastických  
náme co činit se  
astává zpevnění  
ineárni elastické

vztahu (2.6.84) je pozitivně definitní kvadratická forma. Nutná a postačující podmínka pro pozitivně definitní formu vede k tému podmínek:

$$C_{rr} > 0, \quad C_{rr}C_{tt} - C_{rt}^2 > 0, \quad (2.6.90)$$

$$C_{rr}(C_{tt}C_{zz} - C_{rz}) + C_{rz}(C_{tz}C_{rr} - C_{rr}C_{zz}) + C_{zz}(C_{rz}C_{rr} - C_{tt}C_{rz}) > 0, \quad C_{rz} > 0.$$

V přírůstkovém tvaru je rovnice (2.6.86) vyjádřena takto:

$$d\sigma_i = \bar{C}_{ir} d\varepsilon_r, \quad (2.6.91)$$

kde

$$\bar{C}_{ij} = 2\lambda \left[ (\lambda - 1)A^{\lambda-2} \frac{\partial A}{\partial \varepsilon_j} C_{ii} \varepsilon_i + A^{\lambda-1} C_{ij} \right].$$

Vzhledem k ortotropii vazivového prstence a jeho vazbě na deformaci kolagen-  
ních vláken, jsou v daném třírozměrném modelu zvoleny pravoúhlé souřadnice  $X_1$ ,  
 $X_2$ ,  $X_3$  tak, že souřadnice  $X_1$  je shodná se směrem kolagenních vláken, souřadnice  $X_2$  se nachází v rovině lamely a souřadnice  $X_3$  směruje kolmo k rovině lamely. Osa  $X_1$  je osou tzv. příčné izotropie. Konstitutivní rovnici (2.6.87) můžeme pak rozepsat takto [167]:

(2.6.92)

$$\begin{bmatrix} \sigma_{11} \\ \sigma_{22} \\ \sigma_{33} \\ \sigma_{12} \\ \sigma_{13} \\ \sigma_{23} \end{bmatrix} = \frac{2\lambda A^{\lambda-1}}{D} \begin{bmatrix} aE_1(1 - \mu_{32}\mu_{23}) E_1(\mu_{12} + \mu_{32}\mu_{13}) E_1(\mu_{13} + \mu_{12}\mu_{23}) & 0 & 0 & 0 \\ E_2(1 - \mu_{13}\mu_{31}) & E_2(\mu_{23} + \mu_{13}\mu_{21}) & 0 & 0 \\ E_3(1 - \mu_{12}\mu_{21}) & 0 & 0 & 0 \\ \frac{1}{2}DG_{12} & 0 & 0 & 2\varepsilon_{12} \\ \frac{1}{2}DG_{13} & 0 & 0 & 2\varepsilon_{13} \\ \frac{1}{2}DG_{23} & 0 & 0 & 2\varepsilon_{23} \end{bmatrix} \begin{bmatrix} \varepsilon_{11} \\ \varepsilon_{22} \\ \varepsilon_{33} \\ 2\varepsilon_{12} \\ 2\varepsilon_{13} \\ 2\varepsilon_{23} \end{bmatrix}$$

sym.

přičemž pro příčnou izotropii platí, že

$$D = 1 + 2\mu_{12}\mu_{23}\mu_{31} - \mu_{13}\mu_{31} - \mu_{12}\mu_{21} - \mu_{23}\mu_{32},$$

$$E_1 = E_L, \quad E_2 = E_3 = E_T, \quad G_{13} = G_{12} = G_{LT},$$

$$G_{23} = \frac{E_T}{2(1 + \mu_{23})}, \quad \mu_{21} = \mu_{31} = \mu_{LT}, \quad \mu_{23} = \mu_{32}, \quad \mu_{13} = \mu_{12}.$$

V daném případě podle [166] je

(2.6.89)

Funkce  $A(\varepsilon_i)$  ve

$$\mu_{LT} = 0,45, \quad \mu_{23} = 0,9 - \frac{E_T}{E_L} \mu_{LT}$$

a

$$\alpha = \begin{cases} 0,3 & \text{jestliže } \varepsilon_{11} < 0 \text{ (kolagenní vlákna jsou podrobena tlaku),} \\ 1,0 & \text{jestliže } \varepsilon_{11} > 0 \text{ (kolagenní vlákna jsou podrobena tahu).} \end{cases}$$

Zde  $E_L$  a  $E_T$  jsou modul pružnosti v podélném směru vláken, resp. v příčném směru,  $\mu_{LT}$  je Poissonovo číslo a  $G_{LT}$  je modul pružnosti ve smyku. Součinitel  $\alpha$  charakterizuje sníženou nosnost kolagenních láken vazivového prstence v tlaku.

Prvky matice elasticity v rovnici (2.6.89), které jsou vyjádřeny v cylindrických souřadnicích, dostaneme transformací prvků matice  $\tilde{\mathbf{C}}$  ve vztahu (2.6.92) do cylindrických souřadnic a vezmeme průměrné hodnoty ze dvou sousedních lamel. Pak matice  $\mathbf{C}$  dle (2.6.89) bude ve tvaru:

$$\mathbf{C} = \frac{1}{2} \left\{ [\mathbf{R}^*(\Phi)]^T \tilde{\mathbf{C}} \mathbf{R}^*(\Phi) + [\mathbf{R}^*(-\Phi)]^T \tilde{\mathbf{C}} \mathbf{R}^*(-\Phi) \right\}, \quad (2.6.93)$$

kde

$$\mathbf{R}^*(\Phi) = \begin{bmatrix} 0 & c^2 & s^2 & 0 \\ 0 & s^2 & c^2 & 0 \\ 1 & 0 & 0 & 0 \\ 0 & -cs & cs & 0 \\ 0 & 0 & 0 & s \\ 0 & 0 & 0 & c \end{bmatrix}, \quad s = \sin \Phi, \quad c = \cos \Phi$$

a  $\Phi$  je úhel mezi kolagenním vláknem a obvodovým směrem. Rovina lamely je kolmá k rovině  $(r-t)$ .

Nehomogenita vazivového prstence je charakterizována touto závislostí:

$$C_{ij} = \frac{0,3 C_{ij}(r_1)}{1 - 0,7 \frac{r}{r_1}}, \quad (2.6.94)$$

kde  $r$  a  $r_1$  jsou radiální souřadnice a vnější poloměr prstence. Exponent  $\lambda = 1,5$ . Numerické hodnoty konstant  $E_L$ ,  $E_T$  a  $G_{LT}$  jsou v nelineárním případě tyto [168]:  $E_L = 1,765 \cdot 10^3$  MPa,  $E_T = 88,5$  MPa,  $G_{LT} = 35,3$  MPa.

Na obr. 2.73 je znázorněna použitá trojúhelníková síť metody konečných elementů. Pole posuvů v každém elementu je approximováno lineární funkcí. Jádro je reprezentováno pouze jednou vrstvou elementů. Základní soustava nelinárních algebraických rovnic má tedy tvar (2.6.51), tj.

$$\mathbf{Q}(\delta) = \mathbf{R}(\delta) \quad (2.6.95)$$

následkem nelineární konstitutivní rovnice (2.6.87). Vnitřní zobecněné sily  $\mathbf{Q}(\delta)$  ve stykových bodech vrstvy ( jádra) jsou v daném případě doplněny o člen  $p\mathbf{T}$ . Zde  $p$  je hydrostatický tlak v jádru a matice  $\mathbf{T}$  přiřazuje připustné tvarové změny nestlačitelného jádra do příslušných stykových bodů.

Pro daný přírůstek vyjádřeny takto:

Z podmínky nestlačitelnosti

Kombinací rovnic

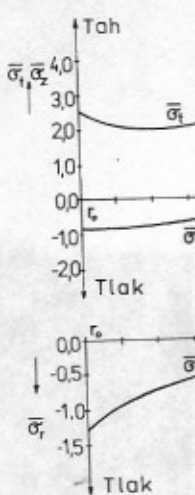
Řešením základní

Z rovnice (2.6.96)

Na základě vý stanovíme dle (2.73) řešíme znovu rovnici

K řešení uvedené z metod uvedených

Na obr. 2.74 je v meziobratlové



Pro daný pírůstek zatížení  $\Delta R$  jsou linearizované rovnice rovnováhy (2.6.95) vyjádřeny takto:

$$\mathbf{K} \Delta \boldsymbol{\delta} + \mathbf{T} \Delta p = \Delta R . \quad (2.6.96)$$

Z podmínky nestlačitelnosti jádra plyne, že

$$\mathbf{T}^T \Delta \boldsymbol{\delta} = 0 . \quad (2.6.97)$$

Kombinací rovnic (2.6.96) a (2.6.97) dostaneme:

$$\Delta p = \frac{\mathbf{T}^T \mathbf{K}^{-1} \Delta R}{\mathbf{T}^T \mathbf{K}^{-1} \mathbf{T}} . \quad (2.6.98)$$

Řešením základních rovnic s pravou stranou  $\Delta R$  a  $\mathbf{T}$  určíme vektory  $\mathbf{Y}_1$ ,  $\mathbf{Y}_2$ :

$$(2.6.99)$$

$$\mathbf{Y}_1 = \mathbf{K}^{-1} \Delta R , \quad (2.6.99)$$

$$\mathbf{Y}_2 = \mathbf{K}^{-1} \mathbf{T} . \quad (2.6.100)$$

Z rovnice (2.6.96) pak plyne, že

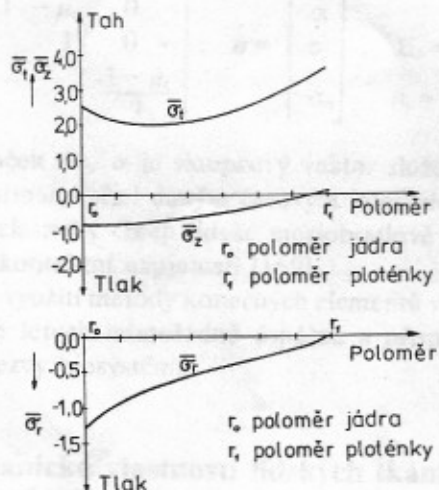
$$\Delta \boldsymbol{\delta} = \mathbf{Y}_1 - \mathbf{Y}_2 \Delta p . \quad (2.6.101)$$

Na základě výsledného pole posuvů  $\boldsymbol{\delta}$  a hydrostatického tlaku  $p$  v jádru stanovíme dle (2.6.53) rezidua  $\mathbf{r}$ . Není-li splněna podmínka konvergence (2.6.55), řešíme znova rovnici (2.6.99) s pravou stranou  $\Delta R = \mathbf{r}$ .

K řešení uvedeného nelineárního problému je rovněž možno použít některou z metod uvedených v kapitole 2.6.2.

Na obr. 2.74 je uveden průběh osového  $\bar{\sigma}_z$ , obvodového  $\bar{\sigma}_t$  a radiálního napětí  $\bar{\sigma}_r$  v meziobratlové plotence při osovém zatížení bederních obratlů L2/L3 silou

$$(2.6.94)$$



Obr. 2.74. Průběh osového  $\bar{\sigma}_z = \sigma_z / \sigma_0$ , obvodového  $\bar{\sigma}_t = \sigma_t / \sigma_0$  a radiálního  $\bar{\sigma}_r = \sigma_r / \sigma_0$  napětí v řezu procházejícím středem prstence vazivového. (Upraveno podle: Kulak, Belytschko, Schultz [168].)

$P = 1\ 000 \text{ N}$ . Napětí  $\sigma$  jsou vztažena k tlakovému napětí  $\sigma_0 = P/F_0$ , kde  $F_0$  je kontaktní plocha ploténky. Vnitřní tlak v jádru byl zadán hodnotou 1,27 ( $P/F_0$ ). Tato hodnota vyplývá z experimentálních měření *in situ* [166].

Viskoelastické chování meziobratlové ploténky v rotačně symetrickém modelu spoje obratel-ploténka-obratel je analyzováno v práci [169]. Konstitutivní rovnice materiálu ploténky je navržena ve tvaru:

$$\boldsymbol{\epsilon} = \boldsymbol{\epsilon}_e + \boldsymbol{\epsilon}_c, \quad (2.6.102)$$

kde  $\boldsymbol{\epsilon}_e$ ,  $\boldsymbol{\epsilon}_c$  jsou sloupové vektory složek pružné a creepové deformace. Přírůstek creepové deformace je vyjádřen takto:

$$\Delta \boldsymbol{\epsilon}_c = \frac{\Delta t}{E_1} \left\{ \frac{2}{3} \mathbf{A} \boldsymbol{\sigma} - E_0 \boldsymbol{\epsilon}' \right\}, \quad (2.6.103)$$

kde

$$\mathbf{A} = \begin{bmatrix} 1 & -\mu_c - \mu_c & 0 \\ & 1 - \mu_c & 0 \\ & & 1 & 0 \\ & & & \frac{1 - \mu_c}{2} \end{bmatrix}_{\text{sym.}}, \quad \boldsymbol{\sigma} = \begin{bmatrix} \sigma_r \\ \sigma_t \\ \sigma_z \\ \sigma_{rz} \end{bmatrix}, \quad E_0 = 10^{-3} \text{ MPa}, \\ E_1 = 2,7 \cdot 10^3 \text{ MPa}, \quad \mu_c = 0,5.$$

Časový interval je označen  $\Delta t$ ,  $\boldsymbol{\sigma}$  je sloupový vektor složek napjatosti a  $\boldsymbol{\epsilon}'$  je dosažená creepová deformace pře daným časovým intervalom.

Ukazuje se, že viskoelastický creep lidské meziobratlové ploténky způsobuje podstatné přerozdělení kontaktní napjatosti [169].

Lze očekávat, že další využití metody konečných elementů v oblasti biomechaniky bude v následujících letech mimořádně úspěšné a přispěje tak k hlubšímu poznání mechanické odezvy biosystémů.

## 2.7. Základní mechanické vlastnosti lidských tkání pohybového systému

V této kapitole i v kapitolách následujících podáme částečný přehled mechanických vlastností lidských tkání (viz rovněž kap. 2.2.). Daný problém, jak z dalšího vyplýne, je nesmírně náročný a výzkum odezvy biologických tkání na vnější mechanické podněty je v současné době na počátku svého rozvoje.

Pro lepší orientaci nyní uvedeme základní anatomické názvosloví, které budeme dále používat.

Rovina podélná, která dělí tělo na dvě zrcadlové poloviny, je rovina mediální, všechny roviny s ní rovnoběžné (jdoucí zpředu nazad) jsou roviny sagitální. Roviny jdoucí zprava doleva (paralelně s čelem) jsou roviny frontální.

Směr hřebení je označován jako dorzální. Směr k rovině střední se označuje jako mediální, směr opačný jako laterální.

Směr, v němž je  
je dílnou.

### 2.7.1. Kostní

Abychom mohli  
kostní tkáň na  
uvést její vlastnosti

Kostní tkáň je  
něčná hmota se m  
a vzájemně se p  
překrývá skvrny s  
ními vlákny, které  
být různé (viz da

Interfibrillární  
Nejdůležitější z m  
hydroxyapatit a t  
jsou odpovědné za

Uspořádáním s  
a anorganické složky  
tvrdost, pružnost

Již jsme se za  
všimneme dvou z  
V obou případech  
Lamely se skládají  
různě složité systémy

Kost kompaktní  
tvoří těla dlouhé a šíkmo do hloubky  
Sharpeyova a pouze krevní, tenké ner  
Těsně pod periostem probíhají rovnoběžné systémy. Podobně kryté endostem — uzavírají různě silné způsob trubic o průměru koncentricky vstupují do každého osteonu